

تئیه رنگدانه سرخ از باطله‌های معدن منگنز و نارچ قم

خالده طهماسبی پور^{*} و عباس فاضلی^۱

گروه فرآوری و کاربرد مواد، سازمان زمین‌شناسی و اکتشافات معدنی کشور، تهران، ایران

تاریخ پذیرش: ۱۳۸۵/۰۴/۰۸

تاریخ دریافت: ۱۳۸۵/۰۵/۰۹

چکیده

معدن منگنز و نارچ در حدود ۳۰ کیلومتری جنوب خاور شهرستان قم واقع شده است. بخش چیره رخمنونهای منطقه را سنگ‌های آذرآواری اثوسن میانی تا بالای تشکیل می‌دهد. همچنین سنگ‌های رسوبی با سن الیکومیوسن روی این تشکیلات آتشفشاری اثوسن قرار می‌گیرند. به طور کلی در بیشتر معدن منگنز، خاک سرخ به همراه منگنز دیده می‌شود که از مهم‌ترین آنها می‌توان به منطقه و نارچ، معدن دریند و معدن دکتر اشاره کرد. میزان ذخیره احتمالی خاک سرخ (باطله) این معدن به ترتیب ۵۷۶۰ و ۱۹۲۰ هزار تن است. از دو معدن دکتر و دریند نمونه برداری شد و نمونه‌ها برای شناسایی ویژگی‌های فیزیکی، شیمیایی و کانی‌شناسی، مورد آزمایش‌های XRF، XRD و مطالعات میکروسکوپی قرار گرفتند. سپس برای بالا بردن عیار ماده خام به ترتیب از آزمایش‌های تجزیه سرندی خشک، تر و Scrubbing و همچنین برای طراحی تعداد آزمایش‌ها از روش تاکوچی استفاده شد. بدین ترتیب عیار ماده معدنی ۲۰ درصد افزایش یافت و رنگدانه‌ای با عیار ۷۰ درصد به دست آمد. برای تعیین کیفیت رنگدانه حاصل، آزمایش‌های جذب روغن، قدرت پوشانندگی و فام انجام پذیرفت. نتایج نشان می‌دهد که رنگدانه حاصل، کیفیت مطلوبی دارد.

کلیدواژه‌ها: خاک سرخ، نارچ، رنگدانه، جذب روغن، قدرت پوشانندگی، باطله

E-mail: K_portahmasebi@yahoo.com

* نویسنده مسئول: خالده طهماسبی پور

۱- مقدمه

(به) دلیل ستیرا و پایداری افق خاک سرخ) و جلوگیری از صرف هزینه‌های اضافی، خاک سرخ پس از استخراج منگنز بر جا ماند. مهم‌ترین معادنی که ذخایر خاک سرخ دپوشده قابل توجهی دارند شامل معدن دکتر و دریند است. در معدن دریند، افق‌های منگنز که ستیرای قابل توجهی داشته، بهره برداری شده و در سطح، فقط خاک سرخ قابل تشخیص است. افق اصلی خاک سرخ، میان لایه‌های توفیقی در پایین و سیلیستونی - توفی در بالا قرار دارد و در بخش‌های جنوب خاوری، کمر پایین آن آندزیت - بازالت و آندزیت پورفیری است. خاک سرخ در این ناحیه، محدود به یک افق نیست و به صورت چند افق مجزا با ستیراهای مختلف است. ستیرای لایه اصلی خاک سرخ در این معدن، حدود ۸ متر و طول آن حدود ۶۰۰۰ متر است. با در نظر گرفتن ژرفای ماده معدنی (۳۰۰ متر) و وزن مخصوص خاک سرخ (۴ گرم بر سانتی متر مکعب) می‌توان میزان ذخیره احتمالی این معدن را ۵۷۶۰ هزار تن برآورد کرد (شرکت مهندسین مشاور کاوشگران، ۱۳۷۲).

در معدن دکتر، محدوده گسترش منگنز نسبت به خاک سرخ بیشتر است و ستیرای افق خاک سرخ در مقایسه با معدن دریند کمتر است. مهم‌ترین افق خاک سرخ در بخش باختری منطقه، طولی حدود ۲۰۰ متر دارد و میان لایه‌های آندزیت - بازالت و آندزیت پورفیری در پایین و لایه‌های نازکی از سیلیستون توفی در بالای محدوده است. ذخیره احتمالی ماده معدنی با توجه به ستیرای حدود ۸ متر و ژرفای حدود ۳۰۰ متر، ۱۹۲۰ هزار تن برآورد شده است (شرکت مهندسین مشاور کاوشگران، ۱۳۷۲).

۲- مواد و روش‌ها

۱- شناسایی ماده اولیه

برای شناسایی ماده معدنی، پرعيارسازی و تئیه رنگدانه از خاک سرخ، ۴ نمونه از دو معدن دکتر و دریند برداشت شد (نمونه‌های ۱ و ۲ مربوط به معدن دریند و نمونه‌های ۳ و ۴ مربوط به معدن دکتر).

برای شناسایی ماده معدنی خام، آزمایش‌های XRD و وزن مخصوص صورت گرفت که نتایج آن به ترتیب در جدول‌های ۱، ۲ و ۳ نشان داده شده است. نتایج آزمایش XRD نشان می‌دهد که کانی آهن‌دار خاک سرخ و نارچ قم، همایت

اکسیدهای آهن به صورت طبیعی و مصنوعی تولید می‌شوند. رنگدانه‌های طبیعی از شستشو و خردایش خاک طبیعی و رنگدانه‌های مصنوعی از راه تجزیه حرارتی نمک‌های آهن، کاهیدگی (احیا) ترکیبات آلی به وسیله آهن و نهشت نمک‌های آهن حاصل می‌شوند.

اکسیدهای آهن در حالت طبیعی تنها کانی رنگی مهمی هستند که از آنها به عنوان رنگدانه استفاده می‌شود. خاک‌های رنگی، ترکیبی از اکسیدهای آهن به صورت هماتیت (Fe_2O_3)، لیمونیت ($\text{Fe}(\text{OH})\cdot\text{XH}_2\text{O}$) و مگنتیت (Fe_3O_4) به همراه ناخالصی‌هایی همچون کانی‌های سیلیکاتی، آلومینا، اکسیدهای منگنز، تیتانیم، منزیم و ... هستند. همایت به رنگ سرخ، لیمونیت به رنگ‌های زرد تا قهوه‌ای و نامهای تجاری Umber و Ocher و مگنتیت به رنگ سیاه، به ترتیب کانی‌های اصلی تشکیل‌دهنده خاک‌های سرخ، زرد و سیاه هستند (Carr, 1994).

۳- زمین‌شناسی معدن منگنز و نارچ و اندیس‌های خاک سرخ

معدن منگنز و نارچ در حدود ۳۰ کیلومتری جنوب باختر شهرستان قم واقع شده است. بخش اصلی رخمنونهای منطقه را سنگ‌های آذرآواری اثوسن میانی تا بالای تشکیل می‌دهد که عبارتند از: توف، توفیت، توف شیلی و سیلیتی، توف برش، گدازه‌های آندزیت بازالتی اسپیلیتی شده و گدازه‌های اسپیلیتی که ساختمان بالشی دارند. همچنین سنگ‌های رسوبی با سن الیکومیوسن شامل آهک، مارن، ماسه‌سنگ و کنگلومرا، بیشتر بر روی تشکیلات آتشفشاری اثوسن قرار گرفته‌اند. توف‌ها و مواد آذرآواری غنی از اکسید آهن و کم و بیش اکسید منگنز مستند به طوری که اکسید آهن و منگنز به صورت هم‌نهشت و از لایه‌هایی با ستیرای مشاهده می‌شوند. وضعیت لایه‌ای افق‌های منگنز حدود ۲ متر درون رسوبات آواری مشاهده می‌شوند. وضعیت لایه‌ای افق‌های منگنز و آهن، چینه‌بندی مشخص و هم‌شبی با لایه‌های زیرین و بالایی، دلالت بر تشکیل آهن و منگنز به صورت همزاد با ردیف رسوبات آتشفشاری و آواری دارد (اداره کل معادن و فلات استان قم، ۱۳۷۸).

در گذشته، همراه با استخراج منگنز، خاک سرخ نیز استخراج و دپو می‌شد (حدود ۱۰۰ هزار تن)؛ هم‌اکنون، به دلیل استخراج معدن و نارچ با روش کند و آکند

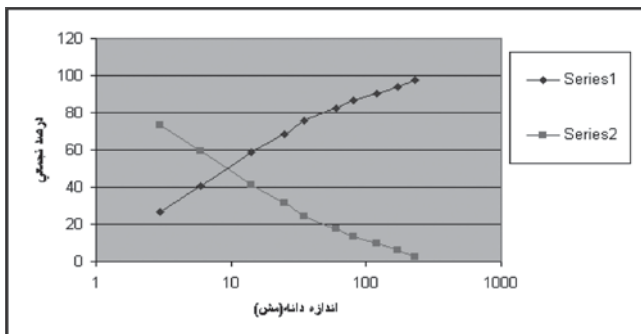
به ترتیب بر اساس استاندارد (2002) D₂₈₁-95ASTM و (2002) D₂₈₀₅-96ASTM در پژوهشکده رنگ انجام شد که جدول ۱۵ و شکل ۳ نتایج آن را نشان می‌دهند.

۴- نتیجه‌گیری

- کانی اصلی تشکیل دهنده ماده معدنی خاک سرخ و نارج قم هماتیت است که با مقادیر ناخالصی از قبیل سیلیس و کلسیت همراه بوده است و میانگین عیار آن از ۵۱ تا ۶۶ درصد متغیر است.
- محصولات تجزیه سرندي تر نسبت به خشک از عیار بالاتری برخوردار هستند.
- با انجام آزمایشات Scrubbing، ۱۴ درصد به عیار ماده خام اضافه شد.
- با بهینه‌سازی آزمایشات Scrubbing به روش تاکوچی، عیار ماده خام تا حدود ۲۰ درصد افزایش یافت.
- پس از انجام آزمایشات تعیین کیفیت رنگدانه مشخص شد که نمونه پرعيار شده و نمونه خام (تغليظ نشده خاک شماره ۴) به ترتیب نسبت به نمونه مرجع از کیفیت بالا و از نظر قدرت پوشانندگی و جذب روغن دارای کیفیت متوسط است.
- فام نمونه مرجع مایل به رنگ سرخ است ولی فام نمونه‌های تهیه شده متمایل به قهوه‌ای است که این تفاوت، نشان دهنده کیفیت نامطلوب رنگدانه نیست بلکه ناشی از اختلاف نوع بلور شناسی (کریستالوگرافی) است.
- نتایج آزمایش‌های فام، جذب روغن و قدرت پوشانندگی نشان می‌دهد که رنگدانه کیفیت مطلوبی دارد و پیشنهاد می‌شود که مطالعات در سطح نیمه‌صنعتی ادامه یابد.

۵- سپاسگزاری

از جناب آقای مهندس میرزا آقا محمدی برای ارائه و اعمال روشن تاکوچی و همچنین از جناب آقای مهندس فتح... مصوری برای مطالعه مقاطع نازک میکروسکوویی نهایت تشکر را داریم.



شکل ۱- تجزیه سرندي خشک نمونه شماره یک

جدول ۱- نتایج XRD نمونه های ۱ تا ۴

نوع کانی	نمونه
هماتیت ، کوارتز ، کلسیت ، کانی های رسی	۱
هماتیت ، کوارتز ، کلسیت ، فلدسپار	۲
هماتیت ، کوارتز ، کلسیت	۳
هماتیت ، کوارتز ، کلسیت	۴

است که با ناخالصی‌هایی همچون کوارتز و کانی‌های رسی همراه است. همچنین با توجه به نتایج XRF، میزان اکسید آهن نمونه‌ها از دست کم ۵۱٪ تا حداقل ۶۶٪ درصد متغیر است.

۳- پرعيارسازی

برای پرعيارسازی با هزینه کم و بالا بردن عیار ماده معدنی تا حدود ۷۰ درصد که مناسب تهیه رنگدانه از آن است، از تجزیه سرندي تر و خشک و فرایند Scrubbing با استفاده از دستگاه شرکت WEMCO و برای طراحی تعداد آزمایش‌ها از روش تاکوچی استفاده شد (Roy, 2001).

ابتدا بر روی نمونه ۱ خاک سرخ معدن دریند تجزیه سرندي خشک انجام گرفت که نتایج آن در جدول ۵ و شکل ۱ نشان داده شده است. برای نشان دادن تأثیر تجزیه سرندي خشک در بالا بردن عیار Fe_2O_3 برخی از محصولات تجزیه سرندي خشک مورد تجزیه شیمیایی قرار گرفت که نتایج آن در جدول ۶ آورده شده است. نتایج نشان می‌دهد که این عمل تأثیر کمی در تغليظ Fe_2O_3 در نشان داده شده داشته است؛ بنابراین برای جدایش بیشتر، از آزمایش تجزیه سرندي تر استفاده شد که جدول‌های ۷ و ۸ و شکل ۲، نتایج آن را نشان می‌دهد. مقایسه نتایج دو نوع تجزیه سرندي نشان می‌دهد که محصول تجزیه سرندي تر نسبت به خشک عیار بالاتری دارد. بدین معنی که با انجام عمل شستشو می‌توان درصد آهن بیشتری را جدا کرد. در ادامه کار، برای بالا بردن عیار خاک سرخ از فرایند Scrubbing در دو مرحله با مدت زمان نیم ساعت در هر دو مرحله، غلظت پالپ ۶۰٪ در مرحله اول و ۵۴٪ در مرحله دوم و دور شدت بالا در مرحله اول و شدت پایین در مرحله دوم استفاده شد که نتایج آن در جدول ۹ بیان شده است. نتایج نشان می‌دهد که با تغییر در شدت دوران پالپ، نتایج بهتری حاصل می‌شود (عیار از ۶۸ درصد به ۷۲ درصد می‌رسد). بنابراین ممکن است با تغییر موارد دیگری چون اندازه ذره، زمان چرخش و غلظت پالپ، به نتایج بهتری دست یافته. از آنجایی که تغییر این متغیرها با افزایش تعداد آزمایش‌ها و صرف هزینه و زمان بیشتری همراه است، برای صرف‌جویی و کسب نتایج بهتر، از طراحی آزمایش به روش تاکوچی استفاده شد. در این روش سه متغیر در نظر گرفته و سه سطح تعریف شد که جدول ۱۰ اطلاعات آن را نشان می‌دهد. بر اساس این روش، ۹ نوع آزمایش Scrubbing با شرایط تعریف شده در جدول ۱۰ انجام پذیرفت که نتایج آن در جدول ۱۱ آورده شده است. آزمایش‌ها با توجه به تعداد عوامل و سطوح آرایه ۹ L انتخاب شد و بر این اساس، به طور تصادفی انجام شد. سطوح میانگین عوامل، محاسبه و تأثیر اصلی آنها بدست آمد که نمودار آن در شکل‌های ۳، ۴، ۵ و ۶ نشان داده شده است. سپس جدول تشکیل و آزمون معنی‌داری به روش Pooling انجام شد. بر اساس این آزمون، تنها اندازه ذرات و RPM، تأثیر معنی‌داری داشتند. با استفاده از آزمون Pooling شرایط بهینه که عبارتند از دانه‌بندی ۲۵ (۱۲ + ۲۵) و (۴۰۰) RPM به دست آمد. در این شرایط، متغیر پاسخ همان عیار آهن ۱۳٪/۶۶٪ است و پس از انجام بایزینی کفايت مدل، فاصله اطمینان ± 62 به دست آمد ($67/75 - 52/64\%$). آزمایش ۲ انجام شده مطابق با شرایط بهینه بوده است که عیار آهن در آهن (۴۸/۴۵٪) در فاصله اطمینان قرار می‌گیرد. برای اطمینان، آزمایش دیگری در شرایط بهینه انجام شد و مقدار عیار آهن $67/6\%$ به دست آمد که این مقدار نیز در بازه اطمینان قرار می‌گیرد. بنابراین نتایج به دست آمده از طرح، معتبر است.

۳- تهیه و نگداه

پس از انجام عملیات پرعيارسازی، رنگدانه‌ای با عیار ۷۰ درصد تهیه شد. بر روی این رنگدانه و رنگدانه خام تغليظ نشده (خاک شماره ۴) که ترکیب آن در جدول ۱۴ نشان داده شده است. آزمایشات جذب روغن و قدرت پوشانندگی و فام رنگدانه

جدول ۳- وزن مخصوص نمونه های ۱ تا ۴

وزن مخصوص gr/cm ³	نمونه
۴/..	۱
۳/۸۸	۲
۳/۷۴	۳
۴/۱۱	۴

جدول ۵- نتایج تجزیه سرندی خشک خاک سرخ نمونه

اندازه الک (مش)	وزن (گرم)	درصد وزنی	درصد تجمی		شماره
			باقیمانده	عبور ۵/۵	
۳	۳۲۳	۲۶/۵	۲۶/۵	۷۳/۵	۱
۶	۱۶۸	۱۴	۴۰/۵	۵۹/۵	۲
۱۴	۲۲۵	۱۸	۵۸/۵	۴۱/۵	۳
۲۵	۱۲۷	۱۰	۶۸/۵	۳۱/۵	۴
۳۵	۸۵	۷	۷۵/۵	۲۴/۵	۵
۶۰	۸۷	۷	۸۲/۵	۱۷/۵	۶
۸۰	۴۶	۴	۸۶/۵	۱۳/۵	۷
۱۲۰	۴۶	۴	۹۰/۵	۹/۵	۸
۱۷۰	۴۱	۳/۵	۹۴	۶	۹
۲۳۰	۴۱	۳/۵	۹۷/۵	۲/۵	۱۰
۲۳۰	۳	۲/۵	۱۰۰		۱۱
جمع	۱۲۱۹	۱۰۰			۱۲

جدول ۸- تجزیه شیمیایی و وزن مخصوص نمونه ای از خاک شماره ۱ حاصل از تجزیه سرندی

اندازه الک	Fe ₂ O ₃		SiO ₂	Al ₂ O ₃	CaO	MnO	وزن مخصوص	
+۱۴	درصد وزنی	عيار	توزيع	۲۳/۷۷	۴/۸۳	۳/۵۶	۶/۱۹	۳/۹۷
	۳۷/۴	۶۰	۴/۳۵					
+۴۵	۱۳/۹۲	۵۵	۱۲/۰۶	۲۰/۳۷	۴/۷۵	۲/۶۱	۴/۹۸	۳/۸۸
+۲۰۰	۱۱/۲۹	۵۷	۱۰/۱۴	۲۰/۸۵	۴/۸۶	۲/۶۲	۳/۹۶	۳/۹۲
-۲۰۰	۳۷/۳۹	۷۲	۴۲/۴۲	۱۷/۱	۳/۲	۱/۰۲	۱/۸۳	۴/۴۳

جدول ۲- نتایج تجزیه شیمیایی نمونه های ۱ تا ۴

L.O.I	TiO ₂	K ₂ O	Na ₂ O	MgO	CaO	MnO	Fe ₂ O ₃	Al ₂ O ₃	SiO ₂	نمونه
۲/۹۴	-	۱/۰۷	-	۰/۴۵	۲/۳۵	۲/۷۳	۶۱/۵۰	۲/۳۱	۲۳/۱۰	۱
۲/۹۵	۰/۲۶	۱/۰۷	۰/۳۲	۰/۹۲	۲/۱۷	۱/.	۵۷/۸۸	۰/۶۲	۲۶/۶۴	۲
۴/۱۰	۰/۲۷	۱/۰۷	۰/۳۵	۰/۸۰	۳/۵۸	۲/۹۶	۵۱/۲۴	۰/۱۴	۲۹/۰۸	۳
۳/۴۲	۰/۱۹	۰/۹۹	۰/۲۴	۰/۷۷	۳/۵۱	۲/۸۷	۶۶/۱۸	۳/۶۸	۱۶/۹۲	۴

جدول ۴- نتایج مطالعه میکروسکوپی کاسنگ معدن دکتر

درصد	نوع کانی	شماره
۷۵-۸۰	اکسید های آبدار آهن شامل گوتیت - لیمونیت	۱
۲۵-۳۰	سیلیس به صورت کلسون، کوارتز ریز بلور، درشت بلور	۲
۲-۳	هماتیت	۳
۱-۲	کلیست	۴

جدول ۵- نتایج تجزیه شیمیایی نمونه های برگزیده از تجزیه سرندی خشک

نوع الک	Fe ₂ O ₃	SiO ₂	Al ₂ O ₃	CaO	MnO	جمع		
+۱۴	درصدوزنی	توزیع	عيار	۹۱/۱	۳/۷۴	۲/۰۷	۳/۸۶	۸۸/۷۷
	۲/۵۶	۶۰	۵۴/۶					
+۳۵	۳/۲۱	۶۴	۲۲/۱	۱۸/۵۱	۳/۲۷	۱/۸۳	۳/۷	۹۱/۳۱
+۸۰	۱۱/۵	۶۵	۱۲/۱	۱۷/۹۴	۳/۵۴	۲/۰۲	۳/۵۴	۹۲/۰۴
+۱۷۰	۲/۱۰	۶۳/۵	۱۰/۴۸	۱۸/۲۷	۳/۸۰	۲/۲۴	۳/۴۹	۹۱/۳۰
-۲۳۰	۰/۸	۶۲	۰/۸	۲۰/۰۴	۳/۷۶	۲/۱۳	۲/۸۷	۹۰/۸

جدول ۷- نتایج تجزیه سرندی تر نمونه ای از خاک شماره ۱

اندازه الک (مش)	وزن (گرم)	درصد وزنی	درصد تجمی		شماره
			باقیمانده	عبور ۵/۵	
۱۴	۴۷۰	۳۷/۳۹	۳۷/۳۹	۶۲/۶۱	۱
۴۵	۱۷۵	۱۳/۹۲	۵۱/۳۱	۴۸/۶۹	۲
۲۰۰	۱۴۲	۱۱/۳	۶۲/۶۱	۳۷/۳۹	۳
-۲۰۰	۴۷۰	۳۷/۲۹	۱۰۰		۴
جمع	۱۲۵۷	۱۰۰			۵

جدول ۱۰- دامنه تغییر متغیرهای مؤثر بر تغییرات عیار
خاک سرخ به روش تاکوچی

Factor	Level 1	Level 2	Level 3
Solid Percent	۴۵	۵۵	۶۵
(مش) Size	-۶+۱۲	-۱۲+۲۵	-۲۵
RPM	۲۰۰	۴۰۰	۶۰
Time (دقیقه)	۱۰	۲۰	۳۰

* RPM = Rotations per minute

جدول ۹- تجزیه شیمیایی نمونه‌های حاصل از انجام اولین و دومین عمل Scrubbing

	اولین عمل Scrubbing	دومین عمل Scrubbing	
نوع الک	+۳۲۵#	-۳۲۵#	+۳۲۵# -۳۲۵ #
درصد وزنی	۶۲	۳۸	۶۵/۸ ۳۴/۲۸
توزیع	۴۸/۴۳	۵۱/۵۷	۶۰/۶۲ ۴۰/۵۵
<chem>Fe2O3</chem>	۳۹/۱۴	۶۸	۵۶/۲۰ ۷۲/۱۷
<chem>SiO2</chem>	۲۴/۲۹	۱۶/۸۷	۱۹/۶۰ ۱۵/۹۳
<chem>Al2O3</chem>	۶/۱۶	۳/۶۲	۴/۶۹ ۳/۰۱
<chem>CaO</chem>	۳/۴۴	۰/۹۹	۴/۶۲ ۱/۷۱
<chem>MnO</chem>	۹/۳۶	۲/۴۸	۵/۸۷ -

جدول ۱۱- نتایج تجزیه شیمیایی نمونه خام و نمونه‌های زیر الک ۴۰۰ آزمایش انجام شده به روش تاکوچی نمونه‌های زیر الک ۴۰۰ مش

۹	۸	۷	۶	۵	۴	۳	۲	۱	نمونه خام # روی الک	اکسیدها (درصد)
۶۵	۶۴/۵	۶۲	۶۲/۹۸	۶۵/۵	۶۲/۸	۶۵/۲	۶۵/۴۸	۵۷/۶	۵۱/۲۴	<chem>Fe2O3</chem>
۳/۷۳	۳/۸۴	۴/۴	۴/۳	۳/۶	۴/۳	۳/۷۵	۳/۵	۵/۰۷	۵/۱۴	<chem>Al2O3</chem>
۲۲/۳	۲۲	۲۲/۵	۲۳/۸	۲۱	۲۲	۲۱/۶	۲۱/۵	۳۱	۲۹/۰۸	<chem>SiO2</chem>
۰/۷۸	۱/۲	۱/۰۱	۰/۸۲	۰/۷۸	۱/۰۵	۰/۸۲	۰/۸	۰/۶۴	۲/۹۶	<chem>MnO</chem>
۰/۲۶	۰/۲۹	۰/۳	۰/۲۹	۰/۲۳	۰/۳	۰/۲۵	۰/۲۲	۰/۲۲	۰/۸۰	<chem>MgO</chem>
۰/۶۶	۱/۲۲	۱/۳۳	۰/۸۲	۰/۷۸	۱/۲۲	۰/۷۶	۰/۶۸	۱/۰۶	۳/۵۸	<chem>CaO</chem>
۰/۹۸	۰/۸۶	۱/۱	۱/۲	۰/۸۸	۱/۰۲	۰/۸۴	۰/۸	۱/۵	۱/۴۷	<chem>K2O</chem>
۰/۱۷	۰/۱۸	۰/۲	۰/۱۹	۰/۱۷	۰/۱۹	۰/۱۷	۰/۱۶	۰/۳	۰/۲۷	<chem>TiO2</chem>
۲/۹	۲	۴/۱	۳/۱	۳	۳/۹۶	۳/۱	۲/۹۴	۳/۶	۴/۱۰	L.O.I

جدول ۱۲- ویژگی‌های آزمایش در نقطه بهینه

Solid percent	Grain Size	RPM	Time
*۱	*۲	۲	۱

1*= Level 1

2*= Level 2

جدول ۱۳- نتیجه تجزیه شیمیایی آزمایش نقطه بهینه

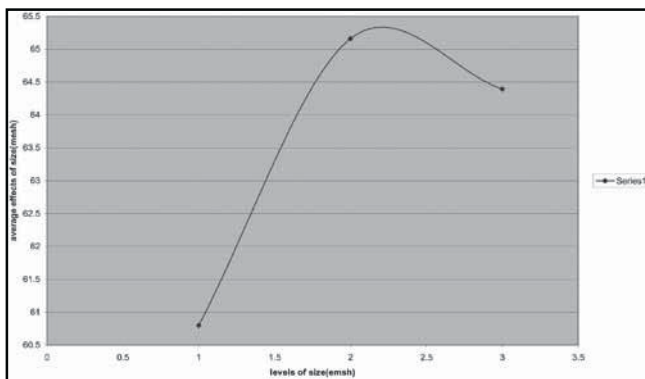
نمونه زیر الک ۴۰۰ مش	<chem>Fe2O3</chem>	<chem>SiO2</chem>	<chem>Al2O3</chem>	<chem>MnO</chem>	<chem>CaO</chem>	<chem>MgO</chem>	<chem>K2O</chem>	<chem>Na2O</chem>	<chem>TiO2</chem>	L.O.I
	۶۷,۶	۲۰/۰۸	۳/۵۷	۰/۸۰	۰/۷۴	۰/۴۹	۰/۶۴	۰/۱۹	۰/۱۸	۱/۹۷

جدول ۱۴- ترکیب شیمیایی دو رنگدانه تهیه شده از عملیات فرآوری (درصد)

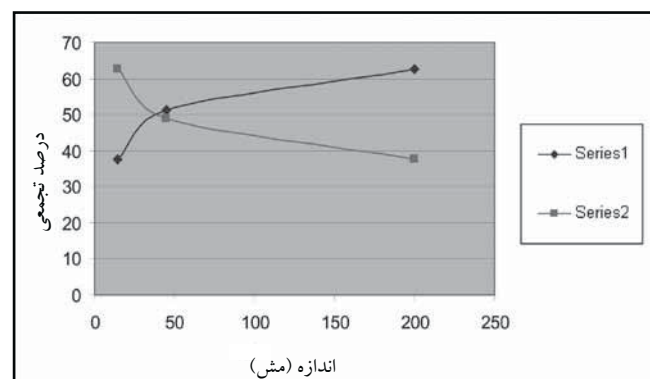
L.O.I	TiO ₂	Na ₂ O	K ₂ O	MgO	CaO	MnO	SiO ₂	Al ₂ O ₃	Fe ₂ O ₃	ردیف
۱/۹۷	۰/۱۸	۰/۱۹	۰/۶۴	۰/۴۹	۰/۷۴	۰/۸۰	۲۰/۰۸	۳/۵۷	۷۰	۱
۳/۴۲	۰/۱۹	۰/۲۴	۰/۹۹	۰/۷۷	۳/۵۱	۲/۸۷	۳/۶۸	۱۶/۹۲	۶۶/۱۸	۲

جدول ۱۵- نتایج جذب روغن و قدرت پوشانندگی دو رنگدانه طبیعی تغییط شده و خام

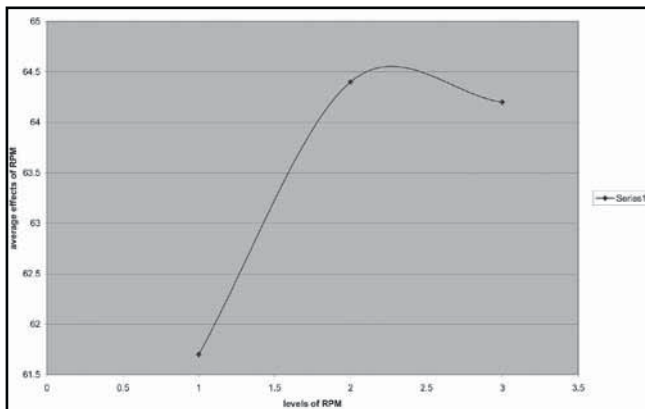
قدرت پوشانندگی (نسبت بتائین)	جذب روغن رنگدانه Gr/100gr	نمونه
۹۷/۶۳۹	۳۷/۲	۱
۷۳/۷۷۱	۳۷/۲	۲
۷۱/۳۲۴	۳۷/۲	مرجع



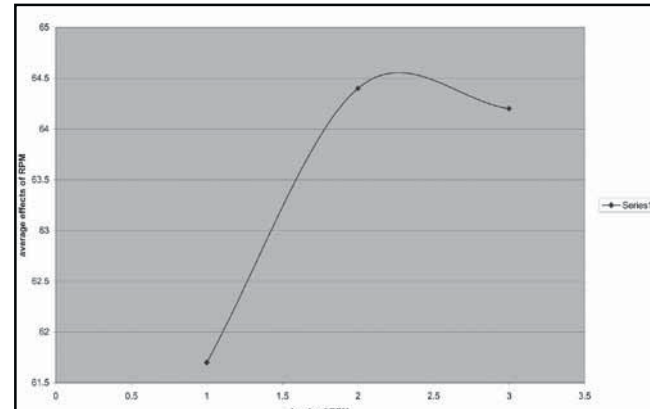
شکل ۳- نمودار درصد جامد



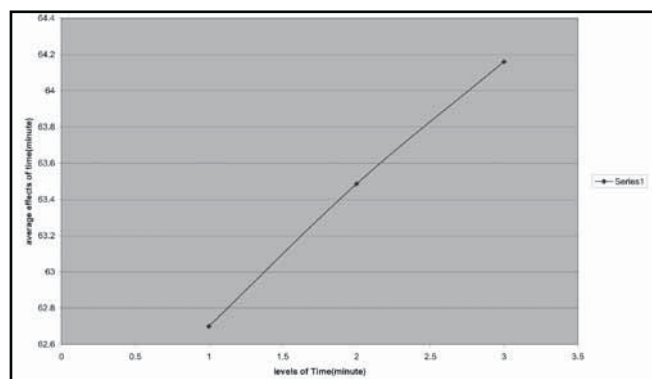
شکل ۲- تجزیه سرندی تر خاک سرخ نمونه شماره ۱



شکل ۵- نمودار سرعت چرخش



شکل ۴- نمودار اندازه دانه



شکل ۶- نمودار زمان

شکل ۷- فام نمونه مرجع نمونه شماره ۱ و ۲

کتابنگاری

شرکت مهندسین مشاور کاوشگران، ۱۳۷۲- بررسی و ارزیابی نتایج اکتشافی معدن و کانسارهای و نارج قم.
اداره کل معدن و فلزات استان قم، ۱۳۷۸- گزارش مقدماتی خاک سرخ استان قم. مشاور طرح: موسسه تحقیقات و کاربرد مواد معدنی ایران.

References

- Carr, D. D., 1994- Industrial Minerals & Rocks – Pigment, Society for Mining Metallurgy & exploration, 6th edition America Indiana, Volume 2-575 , P: 655-781
- Lewis, P. A., 1988- Pigment handbook, Properties & economics, second edition, John Wiley & Sons, volume 1-P: 281-286
- Roy, R. K., 2001- design of Experiments Using the Taguchi Approach, Wiley-InterScience Publication